



# Estrutura Hierárquica MOF-on-MOF Aplicada à Produção de Hidrogênio Verde a partir de Hidreto Metálico

Wesley C. P. Aquino (G)<sup>1\*</sup>, Jemmyson R. de Jesus (PQ)<sup>1</sup>, Renata P. L. Moreira (PQ)<sup>1</sup>, Tatianny de A. Andrade (PG)<sup>1</sup>.

wesley.aquino@ufv.br\*

Departamento de Química, Universidade Federal de Viçosa.

#### RESUMO

Os combustíveis fósseis ainda constituem a principal fonte de energia e sua queima resulta na emissão de gases que intensificam o efeito estufa, contribuindo para as mudanças climáticas. O hidrogênio verde (H<sub>2</sub>V) surge como uma fonte promissora devido à sua alta densidade energética e à emissão nula de gases poluentes durante a sua combustão. Neste trabalho, reporta-se o desenvolvimento de uma heteroestrutura MOF-on-MOF de cobalto (Co) e zircônio (Zr) para a produção de H<sub>2</sub>V a partir de NaBH<sub>4</sub>. Os materiais obtidos foram caracterizados por espectroscopia no infravermelho por transformada de Fourier (FTIR), microscopia eletrônica de varredura acoplada à dispersão de energia (MEV-EDS) e área de superfície de Brunauer–Emmett–Teller (BET). Nanopartículas de rutênio (Ru) foram ancoradas na heteroestrutura visando potencializar a liberação de H<sub>2</sub>. Como resultado, observou-se que a heteroestrutura foi obtida com sucesso, apresentando uma área superfícial de 53,144 m<sup>2</sup> g<sup>-1</sup>. O catalisador Ru/Zr-MOF-on-Co-MOF produziu um HGR de 23681 mL min<sup>-1</sup> g<sup>-1</sup>.

Palavras-chave MOF-on-MOF, Evolução de Hidrogênio, Energia Limpa

### Introdução

Atualmente, a matriz energética mundial é impulsionada pelo uso de combustíveis fósseis, os quais intensificam os problemas climáticos devido a produção de gases estufa (1). Na busca pela diversificação da matriz energética, o hidrogênio verde tem se destacado como uma fonte promissora devido sua alta densidade energética (2). No entanto, há desafios consideráveis relacionados à sua alta inflamabilidade e dificuldade de transporte (3). Assim, armazenadores químicos sólidos de hidrogênio, como o borohidreto de sódio (NaBH<sub>4</sub>) vem sendo empregados. Entretanto a cinética de liberação é lenta e demanda o uso de catalisadores eficientes. O presente trabalho reporta o desenvolvimento de uma estrutura hierárquica como suporte para catalisador para evolução de hidrogênio a partir de hidreto metálico.

## **Experimental**

Síntese da heteroestrutura Zr-MOF@Co-MOF

A síntese é realizada pelo método solvotérmico (4). De maneira breve, dispersou-se 0,200 g de Zr-MOF em um béquer contendo 10 mL de DMF e o sistema foi levado ao banho ultrassônico por 30 minutos. Em seguida, adicionou-se 0,200 g de Co-MOF e manteve-se agitação constante pelo mesmo período. Ao final, a mistura foi transferida para o reator de Teflon, ao qual foi adicionado 10,0 mL de DMF. Na sequência, a mistura foi inserida em autoclave e colocada em estufa por 24 horas a 200 °C.

Síntese das nanopartículas ancoradas em Zr-MOF@Co-MOF

Inicialmente, 10,0 mg do Zr-MOF-on-Co-MOF foram dispersos em 5 mL de água deionizada, sob em agitação por 10 min. Na sequência, adicionou-se 5 mmol do precursor metálico de rutênio (Ru), mantendo-se a agitação por mais 10 min. Posteriormente, adicionou-se um excesso de NaBH4 (39 mg) para promover a redução do metal na superfície do MOF-on-MOF. O sistema foi mantido em agitação por mais 10 min. Ao término do processo, a suspensão foi transferida para um tubo Falcon e levado à centrifugação a 4000 rpm por 30 min.

Hidrólise catalítica do NaBH4

Inicialmente, 2 mL de água deionizada foram adicionados ao catalisador previamente preparado, e a suspensão foi transferida para um tubo Schilenk e mantido sob agitação constante (300 rpm) e temperatura constante (298,15 K). O sistema foi acoplado a um coletor de H<sub>2</sub> por meio de uma mangueira de borracha. Em seguida, 1 mL de uma solução de NaBH<sub>4</sub> (0,5 mol L<sup>-1</sup>) foi introduzido ao sistema com auxílio de uma seringa. A evolução de H<sub>2</sub> foi monitorada pelo deslocamento do volume de água em uma coluna graduada. A Taxa de Geração de Hidrogênio (HGR) foi o parâmetro avaliado.

Otimização multivariada e energia de ativação

Para obter a melhor condição dos parâmetros reacionais, um planejamento fatorial completo do tipo  $2^3$  em conjunto com delineamento composto central (DCC) foi empregado. As variáveis avaliadas foram: (i) dosagem de catalisador (5;10 e 20 mmol%), (ii) temperatura (298,15; 308,15 e 318,15 K) e (iii) dosagem de NaOH (0,05; 0,10 e 0,15 mol L<sup>-1</sup>). A energia de ativação foi calculada por meio da equação de Arrhenius.

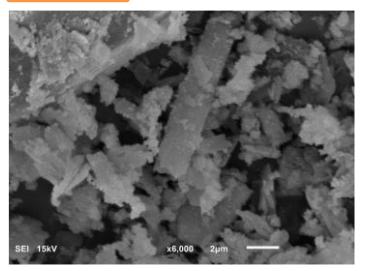


## Resultados e Discussão

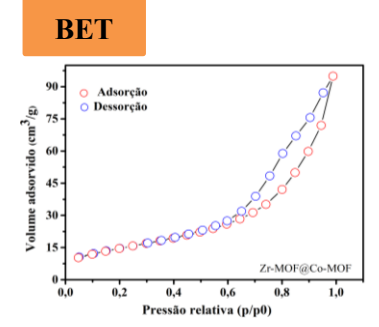
#### **Carac**terizações

A micrografia (**Figura 1**) apresenta a morfologia de bastonetes da heteroestrutura, enquanto a área superficial de 53,144 m<sup>2</sup> g<sup>-1</sup> foi calculada pelo modelo BET e isotermas tipo IV são apresentadas na **Figura 2**.

#### MEV

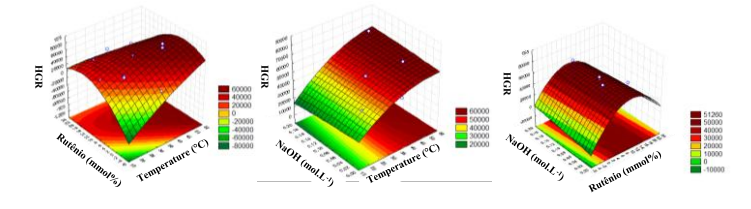


**Figura 1.** Micrografia da heteroestrutura.



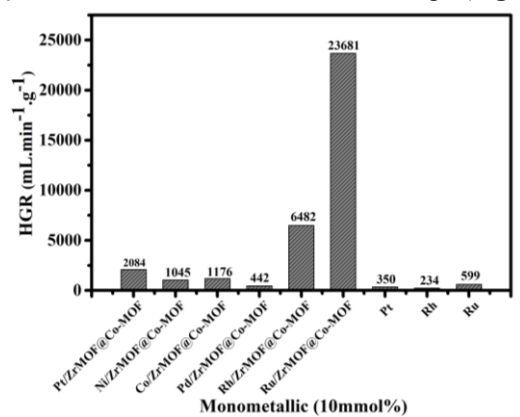
**Figura 2.** Isotermas de adsorção e dessorção de N<sub>2</sub>.

Evolução de hidrogênio e otimização multivariada A otimização multivariada forneceu superfícies de respostas (**Figura 3**) que forneceram as condições ótimas de reação.



**Figura 3.** Superficies de respostas tridimensionais que apresenta os fatores avaliados na evolução de H<sub>2</sub> a partir de NaBH<sub>4</sub>.

A condição ótima encontrada foi na (i) temperatura de 323,15 K, (ii) 10 mmol% de rutênio (Ru), (iii) 0,05 mol L<sup>-1</sup> de NaOH e o HGR nas condições otimizadas foi de 23681 mL min<sup>-1</sup> g<sup>-1</sup> (**Figura 4**).



**Figura 4.** Comparação entre HGRs produzidos por outras nanopartículas ancoradas em Zr-MOF-on-Co-MOF.



Estudo cinético e energia de ativação

Um estudo da influência da temperatura foi realizado e as constantes cinéticas para diferentes temperaturas calculadas e possibilitaram a construção do gráfico de Arrheinius (**Figura 5**) e a energia de ativação (Ea) foi calculada através de sua linearização. A Ea encontrada foi 33,83 kJ mol<sup>-1</sup>.

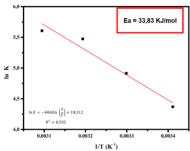


Figura 5. Energia de ativação para a evolução de H<sub>2</sub>.

Estudos de estabilidade mostraram que o catalisador se manteve eficiente na evolução de H<sub>2</sub> por 10 ciclos, resultado smatisfatório para o processo.

#### Conclusões

A síntese da heteroestrutura Zr-MOF@Co-MOF foi bem sucedida e caracterizada com sucesso, apresentando área superficial satisfatória. Ainda, o material NP-Ru/Zr-MOF@Co-MOF apresentou alto potencial para emprego na evolução de H<sub>2</sub> com HGR igual a 23681 mL min<sup>-1</sup> g<sup>-1</sup> e Ea de 33,83 kJ mol<sup>-1</sup>.

## **Agradecimentos**

Os autores agradecem à FAPEMIG (APQ-01786-22; APQ-05429-23, RED-00144-22), ao CNPq (405828/2022-5), ao LPBioFAM e ao Lanaqua.

#### Referências

- 1. Khan, M. et al. Carbon dioxide, global boiling, and climate carnage, from generation to assimilation, photocatalytic conversion to renewable fuels, and mechanism. *Science of The Total Environment.* **2025**, *965*, 178629.
- 2. Jamil, F. et al. Green hydrogen production through a facile aqueous-phase reforming technique from waste biomass: A comprehensive review. *International Journal of Hydrogen Energy*. **2024**, *96*, 126–146.
- 3. Kadirgama, K. et al. Advancements and challenges in numerical analysis of hydrogen energy storage methods: Techniques, applications, and future direction. *International Journal of Hydrogen Energy.* **2025**, *125*, 67–85.
- Abad, M. O. K., Masrournia, M., & Javid, A. Synthesis of novel MOF-on-MOF composite as a magnetic sorbent to dispersive micro solid phase extraction of benzodiazepine drugs prior to determination with HPLC-UV. *Microchemical Journal*. 2024, 197, 109797.